

III-18 応力状態の変化にともなうせいい性材料の変形定数の変化

中日本建設コンサルタント 正会員 ○富田和政
 名古屋大学工学部土木科 正会員 秋本昌胤
 名古屋大学工学部土木科 正会員 川本剛万

1. まえがき

せいい性材料の変形定数と応力状態の関係を理解するために、次の3点に注目した実験的研究が行われた。

- (1) 変形定数は応力状態の変化にともないどのように変化するか。
- (2) 変形定数と載荷経路の関係。
- (3) 応力状態の変化にともなうせいい性材料の異方性化。

2. 実験方法

以上の問題点を明らかにするために、モルタルの立方供試体($108\text{ mm} \times 108\text{ mm} \times 108\text{ mm}$)が軸圧縮載荷方法で載荷実験された。モルタルの配合比はラブに作製方法はJIS R 5201(セメントの強さ試験)にしたがった。三軸圧縮試験機の概要は論文報告集175号に示したので省略する。供試体のひずみは供試体内に埋め込んだ3個のモールドゲージ(ゲージ長40mm)によって測定された。また、供試体と加圧板の間の摩擦係数を小さくするために、シリコンクリスを塗付したテフロンシートが使用された。

本実験を行った軸圧縮載荷方法は次の3種で、次のように仮称し、C-1, C-2, C-3で表す。 C-1: 潤滑-定載荷 C-2: 平均応力-定載荷 C-3: 比例載荷

各方法の載荷経路を示したもののが図-1で、図中に示すPおよび σ_3 は平均応力成分と偏差応力成分を示し、 $P = (\sigma_1 + 2\sigma_3)/3$, $\sigma_3 = \sigma_1 - \sigma_3$ で定義される。各載荷方法での、主応力間の関係を示すと次のようになる。C-1の場合、 $\sigma_3 = \text{CONSTANT}$ であるから $d\sigma_3 = 0$, C-2の場合、 $P = \text{CONSTANT}$ であるから $d\sigma_1 = -2d\sigma_3$, そして、C-3の場合、 $\sigma_3 = d\sigma_1/d\sigma_3 = \text{CONSTANT}$ である。

3. 軸圧縮三軸圧縮下における応力-ひずみ関係

軸方向と横方向との間に異方性があるとする

と、4個の変形定数が必要となる。いま、軸方向荷重による弾性係数とボアソン比を E_1, ν_1 とし、横方向に対するそれらを E_3, ν_3 とする。

供試体の側面部分でのひずみ増分と応力増分の関係は次のようになる。

$$d\varepsilon_1 = d\sigma_1/E_1 - 2\nu_3 d\sigma_3/E_3 \quad (1)$$

$$d\varepsilon_3 = (1-\nu_3)d\sigma_3/E_3 - \nu_1 d\sigma_1/E_1 \quad (2)$$

式-(1), (2)を[2]で述べた、主応力間の関係式

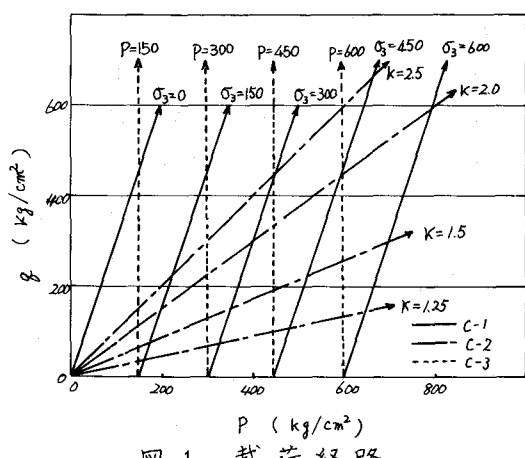


図-1 載荷経路

を用いて変形すると次式がえられる。

$$E_1 = d\sigma_1 / d\varepsilon_1 \quad (3)$$

$$E_2 = (1 + v_3) d\sigma_1 / d\varepsilon_1 \quad (4)$$

$$E_3 = (1 - 2v_3/\kappa) d\sigma_1 / d\varepsilon_1 \quad (5)$$

$$E_4 = (((1 - v_3)/2) - v_1) d\sigma_1 / d\varepsilon_3 \quad (6)$$

$$E_5 = (((1 - v_3)/\kappa) - v_1) d\sigma_1 / d\varepsilon_3 \quad (7)$$

$d\sigma_1 / d\varepsilon_1$, $d\sigma_1 / d\varepsilon_3$ は測定値, たゞ既知定数であるから, 載荷経路と変形定数が無関係であれば, 上式で E_1 , E_2 , v_1 , κ を求めることができること。

4. 実験結果とその考察

C-1で載荷されたときの軸方向弾性係数(式-(3)で計算)と応力状態との関係が図-2に示されている。図から明らかなことは軸方向弾性係数の大きさは偏差応力のレベルが小さいければ、平均応力の大きさに関係なく、ほとんど一定であること、そして、偏差応力のレベルが大きくなると、平均応力のレベルによって異なることである。また、平均応力が $450 \sim 600 \text{ kg/cm}^2$ のとき偏差応力の増加に対する軸方向弾性係数の変化は他の平均応力の場合とは異なっている。このことは、ある応力状態に達すると、せい性材料の変形定数は急激に変化することを示している。

図-3にC-1でもとめた軸方向弾性係数とC-2とC-3が一致する点、すなわち応力状態(図-1参照)でもとめた軸方向弾性係数(式-(4), (5)で計算)が比較されてい。図から明らかのように、異なった載荷経路に対する軸方向弾性係数は、実験範囲内の応力状態では、ほぼ一致してあり、すくなくとも、低応力状態では応力とひずみは1対1の対応をもち、変形定数は載荷経路に影響されないことがわかる。このような結果は、異なった載荷経路に対する式-(3)から式-(7)の関係式で、三次元的に載荷されたときの変形定数をもとのることができるることを示している。

図-4は異方性の発生状況を E_3/E_1 の比で示すものである。これらの値は、1ヒの差があるほど、異方性化が大であることを示す。図-4は、低応力下では異方性化は余り生じないが、高応力下では異方性化する事を示している。

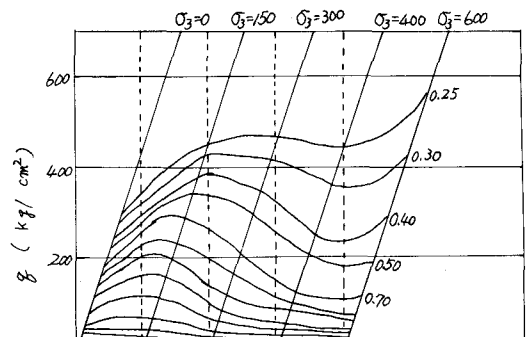


図-2 軸方向弾性係数の変化状況

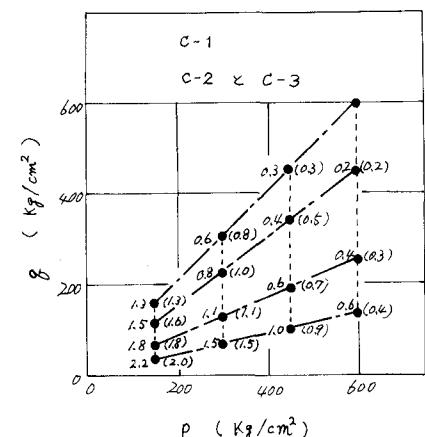


図-3 異なった載荷経路でもとめた軸方向弾性係数の比較

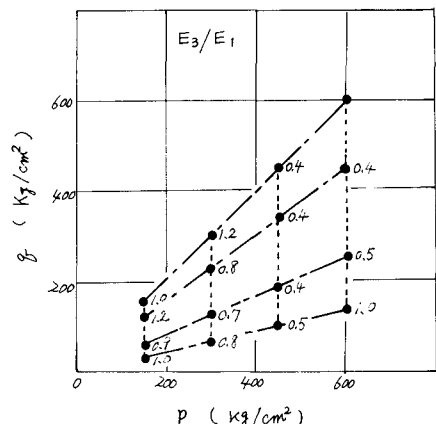


図-4 横方向弾性係数と軸方向弾性係数の比